

КОМПЛЕКСНОЕ ИСПОЛЬЗОВАНИЕ НА ПК АНАЛИТИЧЕСКИХ И ЧИСЛЕННЫХ РАСЧЕТОВ В КУРСЕ ТЕОРЕТИЧЕСКОЙ МЕХАНИКИ

*Белорусская государственная политехническая академия
Минск, Беларусь*

Бурное развитие вычислительной математики и ее программной реализации на персональных компьютерах (ПК) привели к созданию принципиально новых систем аналитических вычислений (САВ) и интегрированных пакетов программ, лучшими из которых стали REDUCE, DERIVE, MathCad, Maple, MatLab и Mathematica. Они снимают с инженера весьма трудоемкие задачи составления или поиска алгоритмов и программ расчетов, их отладку и тестирование.

Система REDUCE предоставляет удобные возможности для автоматического и контролируемого упрощения выражений, преобразования символьных матричных выражений, определения новых функций и расширения синтаксиса программ. Следует отметить ее удивительную простоту и фантастические возможности работы с матрицами, что удобно использовать как в кинематике, так и при решении систем линейных алгебраических уравнений задач статики, что будет рассмотрено ниже. Для перехода от обычного численного определения реакций связей к получению аналитических зависимостей влияния на них различных факторов (вариации нагрузки, геометрических параметров задачи и т.п.) нужно просто не задавать их значения, записав величины нагрузок и тригонометрические функции углов в символьном виде (силы P , F , $\cos\varphi$ и т.п.).

Эта особенность REDUCE позволяет проводить исследование, достойное курсовой работы, над любой задачей, причем его трудоемкость для студента при этом практически не возрастает. Легкость получения нужных функциональных зависимостей в аналитической форме просто поражает. Ведь для их определения ранее нужно было выполнить исследование с трудоемкой подготовкой варьируемых данных в численном виде для каждого рассматриваемого положения, а затем мучиться над обработкой большого массива численных результатов [1].

DERIVE также является универсальной математической системой, ориентированной на решение весьма широкого круга математических и научно-технических задач. В то же время она более интегрирована, обладает более дружелюбным интерфейсом и большими графическими возможностями.

Системы REDUCE и DERIVE отличаются тем, что удачно сочетают возможности проведения численных и символьных вычислений с простотой и не слиш-

ком высокими требованиями к используемой технике. Это делает их незаменимыми для использования в вузах, компьютерный парк которых в основном морально устарел.

В курсе теоретической механики используются практически все основные разделы вычислительной математики: решение систем линейных алгебраических уравнений при определении реакций, интегрирование при нахождении центра тяжести или замены распределенных сил в статике, численное дифференцирование в задачах кинематики, интегрирование дифференциальных уравнений в задачах динамики. Поэтому применение САВ позволяет значительно повысить эффективность учебного процесса.

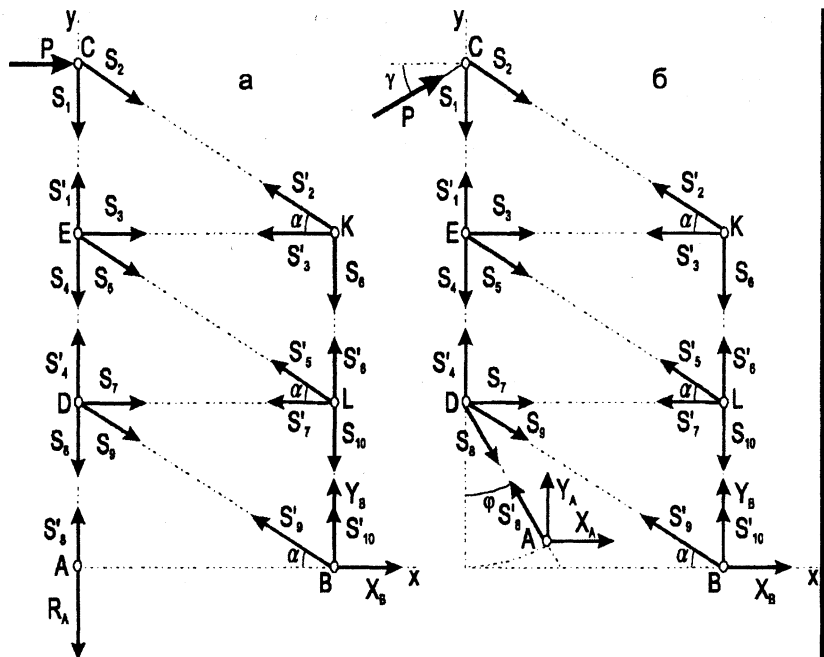


Рис. 1. Расчетная схема плоской фермы: а – исходное положение; б – вариации направления силы P и положения шарнирно-неподвижной опоры в точке A .

Покажем комплексное использование САВ на типовом примере задачи статики (С-1, [2, с. 5–12]). Исходная расчетная схема для определения усилий в стержнях плоской шарнирно-стержневой конструкции [2, с. 5–12] приведена на рис. 1, а. Для удобства исследования вариации силовых и геометрических факторов представим ее сразу в общей постановке (рис. 1, б), для чего:

• силу P покажем в произвольном положении, повернув от горизонтального положения на рис. 1а, которое будем считать начальным, против часовой стрелки на небольшой угол γ ;

• изменим положение ее левой шарнирно-неподвижной опоры в точке A , с которой связан промежуточный элемент в виде 8-го стержня, повернув его против часовой стрелки на небольшой угол φ , отсчитываемый от вертикальной оси (начального положения) против часовой стрелки (рис. 1б). Точка A при этом вместе с 8-м стержнем будет как бы совершать вращение вокруг точки D , а угол φ изменяться от 0 до 2π радиан.

Для произвольного положения плоской фермы (рис. 1б) составим по два уравнения равновесия для сил, сходящихся соответственно в узлах C, K, E, L, D, A и B , что в результате будет иметь следующий вид:

$$\begin{array}{ll}
 \text{Узел С:} & \sum X_i = 0; \quad 1. P \cdot \cos \gamma + S_2 \cdot \cos \alpha = 0; \\
 & \sum Y_i = 0; \quad 2. P \cdot \sin \gamma - S_1 - S_2 \cdot \sin \alpha = 0; \\
 \text{Узел К:} & \sum X_i = 0; \quad 3. -S_2' \cdot \cos \alpha - S_3' = 0; \\
 & \sum Y_i = 0; \quad 4. S_2' \cdot \sin \alpha - S_6 = 0; \\
 \text{Узел Е:} & \sum X_i = 0; \quad 5. S_3 + S_5 \cdot \cos \alpha = 0; \\
 & \sum Y_i = 0; \quad 6. S_1' - S_4 - S_5 \cdot \sin \alpha = 0; \\
 \text{Узел L:} & \sum X_i = 0; \quad 7. -S_5' \cdot \cos \alpha - S_7' = 0; \\
 & \sum Y_i = 0; \quad 8. S_5' \cdot \sin \alpha + S_6' - S_{10} = 0; \\
 \text{Узел D:} & \sum X_i = 0; \quad 9. S_7 + S_9 \cdot \cos \alpha + S_8 \cdot \sin \varphi = 0; \\
 & \sum Y_i = 0; \quad 10. S_4' - S_8 \cdot \cos \varphi - S_9 \cdot \sin \alpha = 0; \\
 \text{Узел А:} & \sum X_i = 0; \quad 11. X_a - S_8' \cdot \sin \varphi = 0; \\
 & \sum Y_i = 0; \quad 12. Y_a + S_8' \cdot \cos \varphi = 0; \\
 \text{Узел В:} & \sum X_i = 0; \quad 13. -S_9' \cdot \cos \alpha + X_b = 0; \\
 & \sum Y_i = 0; \quad 14. S_9' \cdot \sin \alpha + S_{10}' + Y_b = 0.
 \end{array} \quad (1)$$

На рис. 1 уже учтена разность направлений штрихованных и нештрихованных реакций связей для каждого стержня. Поэтому им можно присвоить один идентификатор: $S_i = S_i' = X_i$, вследствие чего соответствие идентификаторов для формализации системы уравнений (1) будет иметь вид:

X_1	X_2	X_3	X_4	X_5	X_6								
$S_1=S_1'$	$S_2=S_2'$	$S_3=S_3'$	$S_4=S_4'$	$S_5=S_5'$	$S_6=S_6'$								

$$(2)$$

X_7	X_8	X_9	X_{10}	X_{11}	X_{12}	X_{13}	X_{14}
$S_7=S_7'$	$S_8=S_8'$	$S_9=S_9'$	$S_{10}=S_{10}'$	X_a	X_b	Y_b	Y_a

Для удобства составления программ заменим также используемые греческие буквы для обозначения углов α, γ и φ их идентификаторами, записанными в латинской транскрипции: $\alpha = ALFA, \gamma = GAMMA, \varphi = FI$.

Перенесем свободные члены, не содержащие неизвестных, в правые части уравнений (1), которые с учетом соответствия идентификаторов (2) теперь примут следующий формализованный вид (3):

1. $X_2 \cdot \cos(\text{ALFA}) = -P \cdot \cos(\text{GAMMA})$
2. $-X_1 - X_2 \cdot \sin(\text{ALFA}) = -P \cdot \sin(\text{GAMMA})$
3. $-X_2 \cdot \cos(\text{ALFA}) - X_3 = 0$
4. $X_2 \cdot \sin(\text{ALFA}) - X_6 = 0$
5. $X_3 + X_5 \cdot \cos(\text{ALFA}) = 0$
6. $X_1 - X_4 - X_5 \cdot \sin(\text{ALFA}) = 0$
7. $-X_5 \cdot \cos(\text{ALFA}) - X_7 = 0$
8. $X_5 \cdot \sin(\text{ALFA}) + X_6 - X_{10} = 0$
9. $X_7 + X_9 \cdot \cos \alpha + X_8 \cdot \sin \varphi = 0;$
10. $X_4 - X_8 \cdot \cos \varphi - X_9 \cdot \sin \alpha = 0;$
11. $X_{11} - X_8 \cdot \sin \varphi = 0;$
12. $X_{14} + X_8 \cdot \cos \varphi = 0;$
13. $-X_9 \cdot \cos(\text{ALFA}) + X_{12} = 0$
14. $X_9 \cdot \sin(\text{ALFA}) + X_{10} + X_{13} = 0$

(3)

Для удобства пользования уравнения пронумерованы сверху вниз, начиная с 1, где номером без скобок обозначается порядковый номер строки. Теперь система уравнений (3) приобрела явный вид системы линейных алгебраических уравнений $A \cdot X = B$. В ней выписаны в символьной форме только отличные от нуля элементы, которые и вводятся в программе 1:

```

COMMENT Программа 1;
OUT "\C1\PR1.LIS";
ON NERO;
N:=13;
SA:=SIN(ALFA) :=1/2;
CA:=COS(ALFA) := SQRT(3)/2;
SIN(GAMMA) :=0; COS(GAMMA) :=1;
SIN(FI) :=0; COS(FI) :=1;
P:=11;
MATRIX A(N,N), B(N,1), X(N,1);
A(1,2) :=CA; A(2,1) :=-1; A(2,2) :=-SA; A(3,2) :=-CA;
A(3,3) :=-1; A(4,2) :=SA; A(4,6) :=-1; A(5,3) :=1;
A(5,5) :=CA; A(6,1) :=1; A(6,4) :=-1; A(6,5) :=-SA;
A(7,5) :=-CA; A(7,7) :=-1; A(8,5) :=SA; A(8,6) :=1;
A(8,10) :=-1; A(9,7) :=1; A(9,9) :=CA; A(10,4) :=1;
A(10,8) :=-COS(FI); A(10,9) :=-SA; A(11,8) :=-SIN(FI);
A(11,11) :=1; A(13,9) :=-CA; A(13,12) :=1;
A(14,9) :=SA; A(14,10) := 1; A(14,13) :=1;
A(9,8) :=SIN(FI); A(12,8) :=COS(FI); A(12,14) :=1;
B(1,1) :=-P * COS(GAMMA); B(2,1) :=-P * SIN(GAMMA);
OFF NERO;
X:=A**(-1)*B;

```

SHUT "\Cl\PR1.LIS";

95

END;

99

Результаты работы программы 1 совпадают с приведенным в [2, с. 12] численным решением типового примера задания С-1 и для экономии места не приводятся. Студент должен сравнить результаты работы своей программы с измененными операторами 20–55 с обычным аналитическим решением своей задачи. Проверив таким образом правильность работы программы, легко перейдем к получению символьных решений.

Для исследования влияния вариации угла поворота силы на значения реакций опор и усилий нужно в программе 1 только изменить предложение 25, очистив имена со скобками SIN(GAMMA) и COS(GAMMA), идентифицирующие тригонометрические функции, командой CLEAR:

CLEAR SIN(GAMMA),COS(GAMMA);

25

Теперь они будут рассматриваться в качестве свободных переменных, в функциях от которых будет получено решение. В результате работы такой измененной программы 1 мы получим значения реакций опор и усилий в стержнях плоской конструкции в зависимости от вариации направления постоянной по модулю силы P, определяемого изменением угла γ (рис. 1, б):

$$X(1,1):= \frac{11 * (\cos(\text{gamma}) + \text{sqrt}(3) * \sin(\text{gamma}))}{\text{sqrt}(3)}$$

$$X(2,1):= \frac{22 * \cos(\text{gamma})}{\text{sqrt}(3)} \quad X(3,1):= 11 * \cos(\text{gamma})$$

$$X(4,1):= \frac{11 * (2 * \cos(\text{gamma}) + \text{sqrt}(3) * \sin(\text{gamma}))}{\text{sqrt}(3)}$$

$$X(5,1):= - \frac{22 * \cos(\text{gamma})}{\text{sqrt}(3)} \quad X(6,1):= - \frac{11 * \cos(\text{gamma})}{\text{sqrt}(3)}$$

$$X(7,1):= 11 * \cos(\text{gamma})$$

(4)

$$X(8,1):= \frac{11 * (3 * \cos(\text{gamma}) + \text{sqrt}(3) * \sin(\text{gamma}))}{\text{sqrt}(3)}$$

$$X(9,1):= \frac{22 * \cos(\text{gamma})}{\text{sqrt}(3)} \quad X(10,1):= - \frac{22 * \cos(\text{gamma})}{\text{sqrt}(3)}$$

$$X(11,1):= \frac{11 * (3 * \cos(\text{gamma}) + \text{sqrt}(3) * \sin(\text{gamma}))}{\text{sqrt}(3)}$$

$$X(12,1) := -11 * \cos(\text{gamma}) \quad X(13,1) := \frac{33 * \cos(\text{gamma})}{\text{sqrt}(3)}$$

Нижеследующие графики, полученные путем передачи результатов через буфер обмена в DERIVE, наглядно показывают эти зависимости. Как видно из их сравнения, значения реакций опор и усилий в стержнях плоской конструкции при вращении постоянной по модулю силы P в той же плоскости изменяются по синусоидальному закону:

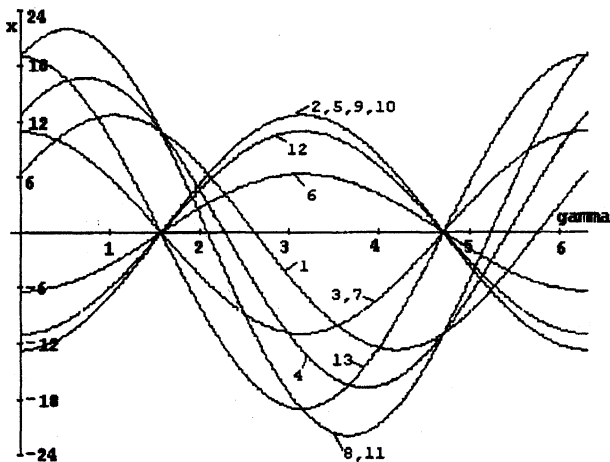


Рис. 2. Зависимости усилий в стержнях и реакций опор (X, кН) плоской конструкции (рис. 1, б) от изменения угла GAMMA (рад) при вращении силы P: 1 – S1, 2 – S2, 3 – S3, 4 – S4, 5 – S5, 6 – S6, 7 – S7, 8 – S8, 9 – S9, 10 – S10, 11 – Ra, 12 – Xb, 13 – Yb.

Изучим влияние вариации геометрических факторов рассматриваемой плоской фермы на примере изменения положения ее левой шарнирно-неподвижной опоры в точке А, определяемого углом φ (рис. 1б). Для этого в программе 1 нужно только изменить предложение 27, очистив имена со скобками SIN(FI) и COS(FI), идентифицирующие тригонометрические функции, командой CLEAR:

CLEAR SIN(FI),COS(FI);

27

В результате работы такой измененной программы 1 мы получим значения усилий в стержнях плоской конструкции в зависимости от вариации положения ее левой шарнирно-неподвижной опоры (рис. 1, б):

$$X(1,1) := \frac{11 * (\text{sqrt}(3) * \cos(\text{fi}) - \sin(\text{fi}))}{3 * \cos(\text{fi}) - \text{sqrt}(3) * \sin(\text{fi})} \quad X(2,1) := - \frac{22 * (\text{sqrt}(3) * \cos(\text{fi}) - \sin(\text{fi}))}{3 * \cos(\text{fi}) - \text{sqrt}(3) * \sin(\text{fi})}$$

$$\begin{aligned}
X(3,1) &:= 11 & X(4,1) &:= \frac{22*(\sqrt{3}*\cos(\varphi) - \sin(\varphi))}{3*\cos(\varphi) - \sqrt{3}*\sin(\varphi)} \\
X(5,1) &:= -\frac{22*(\sqrt{3}*\cos(\varphi) - \sin(\varphi))}{3*\cos(\varphi) - \sqrt{3}*\sin(\varphi)} & X(6,1) &:= -\frac{11*(\sqrt{3}*\cos(\varphi) - \sin(\varphi))}{3*\cos(\varphi) - \sqrt{3}*\sin(\varphi)} \\
X(7,1) &:= 11 & X(8,1) &:= \frac{33}{\sqrt{3}*\cos(\varphi) - \sin(\varphi)} \quad (5) \\
X(9,1) &:= -\frac{22*(\sqrt{3}*\cos(\varphi) + 2*\sin(\varphi))}{3*\cos(\varphi) - \sqrt{3}*\sin(\varphi)} & X(10,1) &:= -\frac{22*(\sqrt{3}*\cos(\varphi) - \sin(\varphi))}{3*\cos(\varphi) - \sqrt{3}*\sin(\varphi)} \\
X(11,1) &:= -\frac{33*\sin(\varphi)}{\sqrt{3}*\cos(\varphi) - \sin(\varphi)} & X(12,1) &:= -\frac{11*(\sqrt{3}*\cos(\varphi) + 2*\sin(\varphi))}{\sqrt{3}*\cos(\varphi) - \sin(\varphi)} \\
X(13,1) &:= \frac{33*\cos(\varphi)}{\sqrt{3}*\cos(\varphi) - \sin(\varphi)} & X(14,1) &:= -\frac{33*\cos(\varphi)}{\sqrt{3}*\cos(\varphi) - \sin(\varphi)}
\end{aligned}$$

Нижеследующие графики на рис. 3, построенные системой DERIVE после получения через буфер обмена результатов (5), наглядно показывают эти зависимости. Как видно из их сравнения, значения усилий в стержнях плоской конструкции при изменении положения опоры в той же плоскости изменяются немонотонным образом. При значениях $\varphi = \pi/3$ и $\varphi = 4\pi/3$ конструкция находится в неустойчивом положении. При этих значениях угла φ происходит потеря равновесия и устойчивости конструкции, что математически находит свое отражение в стремлении к бесконечности соответствующих реакций, в выражениях для которых при $\varphi = \pi/3$ или $\varphi = 4\pi/3$ происходит деление на 0. Это очень хорошо видно на графиках зависимости значений реакций стержней 1–10 и опор 11–14 от величины угла φ , построенных по соотношениям (5).

Смушающим здесь является то обстоятельство, что постоянных значений в ответах (5) только два ($S_3=S_7$), а прямых линий на рис. 3 – восемь (еще для S_1 , $S_2=S_5=S_{10}$, S_4 и S_6). REDUCE обладает широкими возможностями преобразования выражений, но использование самых разнообразных флагов и различное представление выражений не дает ответа на возникший вопрос.

Параллельное решение этой задачи в системе DERIVE, обладающей удивительной способностью максимального упрощения выражений, сразу дает для указанных значений реакций постоянные величины:

$$S_1 = \frac{11\sqrt{3}}{3}, S_2=S_5=S_{10} = -\frac{22\sqrt{3}}{3}, S_4 = \frac{22\sqrt{3}}{3}, S_6 = -\frac{11\sqrt{3}}{3} \quad (6)$$

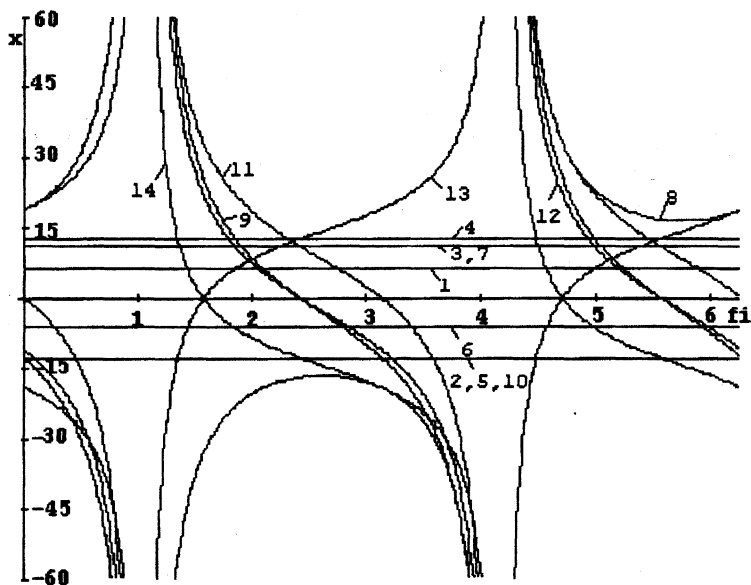


Рис. 3. Зависимости усилий в стержнях и реакций опор (X , кН) плоской конструкции (рис. 1, б) от вариации положения шарнирно-неподвижной опоры в точке A , определяемом углом FI (рад): 1 – S_1 , 2 – S_2 , 3 – S_3 , 4 – S_4 , 5 – S_5 , 6 – S_6 , 7 – S_7 , 8 – S_8 , 9 – S_9 , 10 – S_{10} , 11 – X_a , 12 – X_b , 13 – Y_b , 14 – Y_a .

Эти же постоянные значения получаются при упрощении соответствующих выражений для S_1 , $S_2=S_5=S_{10}$, S_4 и S_6 из (5), переданных в DERIVE через буфер обмена.

Так совместное использование систем REDUCE и DERIVE существенно повышает их достоинства. Дополнение их текстовым процессором типа Word организует рабочее место исследователя для студента и инженера, сравнимое с самыми сложными современными интегрированными пакетами, весьма дорогостоящими и требовательными к аппаратным возможностям ПК.

Отметим, что рассмотренные типовые примеры были использованы ранее в работе [3] при описании специализированных и универсальных программ, реализующих численные методы. Последнее обстоятельство организует комплексное обучение практическому применению численно-аналитических методов при изучении курса теоретической механики.

Разработанные современные САВ отражают достижения информационной революции, на несколько порядков увеличивая интеллектуальные возможности любого человека. При их освоении возникает ощущение, что ваши способности к точным

наукам многократно возрастают. Поэтому использование САВ способно совершить революцию в высшем образовании, для чего нужна соответствующая методическая проработка различных аспектов их использования в учебном процессе.

ЛИТЕРАТУРА

1. Гецевич Э.Г., Ершов Г.Ф., Носов В.М., Тавгень И.А. Расчет элементов статически определимых конструкций с применением ЭВМ: Учебно-метод. пособие к курсовой работе по теоретической механике для студентов спец. Т.19.01 – "Промышленное и гражданское строительство" / Под ред. А.В.Чигарева. – Мн.: БГПА, 1996. – 175 с. 2. Сборник заданий для курсовых работ по теоретической механике: Учеб. пособие для техн. вузов / [Яблонский А.А., Норейко С.С., Вольфсон С.А. и др.; Под ред. А.А. Яблонского]. – 3-е изд. – М.: Высш. шк., 1978. 3. Носов В.М. Программирование на персональных ЭВМ задач теоретической механики. – Мн.: Технопринт, 1997. – 386 с.

УДК 621.762.4:539

В. А. Сидоров, А. А. Хмелев

ДЕФОРМАЦИОННАЯ МОДЕЛЬ УПЛОТНЕНИЯ АМОРФНЫХ И МЕЛКОКРИСТАЛЛИЧЕСКИХ МАТЕРИАЛОВ

*Белорусская Государственная политехническая академия
Минск, Беларусь*

В последние годы ведутся интенсивные исследования в области получения быстрозакаленных материалов из жидкого состояния, включая аморфные металлические материалы (АММ).

Особенностью получения аморфных и мелкокристаллических сплавов из жидкого состояния является высокая скорость охлаждения для фиксации метастабильных состояний, что требует малых геометрических размеров частиц хотя бы в одном направлении. Вследствие этого аморфные сплавы могут быть получены только в форме пленок, тонких фольг, лент и в виде порошка.

В связи с этим большое значение придается развитию методов получения аморфных и мелкокристаллических сплавов в виде массивных образцов. Для получения массивных аморфных образцов перспективными являются методы порошковой металлургии, такие как теплое изостатическое прессование [1], экструдирование [2], холодное и теплое прессование в прессформах [3] и ряд других.